

名古屋市土木局 正員 本田 孝
 金沢大学工学部 正員 梶 容郎
 金沢大学工学部 正員 松浦義満

1. 緒言。従来行なわれてきた軌道の動力学的研究は軌道の上下方向の振動を対象にしたもののが大部分であり、左右方向の振動についてはあまり検討されていない。左右方向の振動に関心が集まらなかつたその理由は列車走行時に軌道に生ずる左右方向の振動加速度が上下方向のそれに比べて小さく、およそ $\frac{1}{10}$ ~ $\frac{1}{15}$ 程度であること、および左右方向の振動のモデル化が、レールのねじり振動の発生等のために、上下方向の振動に比べ困難であることによると考えられる。しかし、軌道は鉄道騒音の放射体の一つであるとみるとならば、たとえ振動振幅が小さくとも、その振動は鉄道騒音にみられる卓越した周波数の音波の発生源となりうるから無視することはできない。特に、軌道側方に放射される騒音にはレールの左右方向の振動が大きく寄与しているものと推測される。

この研究は上記の問題意識の下に実物大の試験軌道においてレール面上に車輪を落下させた時のレール・ヘッドおよびレール・ベースの上下、左右方向の振動を追求した。

2. 実験方法。

試験軌道はコンクリート床上に厚さ 30 cm の碎石を敷き、PC 3 号枕木を 60 cm 間隔に配置し、長さ 8.3 m の 50 N 型レールを敷設したものである。このときレールと枕木の間に厚さ 6 mm のカス種 50 C 型軌道パッドを插入し、締結装置としては標準 S 型を使用した。実験に使用した車輪は一体圧延車輪であり、重量は 800 kg、踏面周りの円の直径は 84 cm である。

実験装置の概要を図-1 に示す。振動加速度計の取り付け位置は断面 I, II の上下方向と左右方向である。車輪の落下高は 2.5 cm とした。

3. 実験結果。

車輪がレールに衝突したときのレール・ヘッド（断面 II）に生ずる上下方向と左右方向の振動加速度の波形を図-2 に示す。これらの振動加速度を比較すると、車輪がレールに衝突した直後には上下方向の加速度は左右方向のそれに比べおよそ 5 倍であるが、 $5/1000$ sec 経過すると両者はほぼ等しくなり、その後は左右方向の振動加速度が大きくなっている。卓越した周波数は上下方向で 1000 Hz 前後にあり、左右方向で 200 Hz および 1500 Hz 附近にある。

図-1 に示した各測定における振動加速度波形を車輪落下の瞬間から 2 回積分して変位を算出すると図-3, 4, 5 のごとくになる。図-3, 図-5 をみるとレール・ヘッドの左右方向には 200 Hz 附近の振動の他に 30 Hz 近傍の振動が認められる。レール・ベースの左右方向の変化には 30 Hz 附近の振動はみとめられるが、200 Hz 近傍の振動は顕著には現われてはいない。これらの現象から、車輪とレールに衝突させたとき、レール・ヘッドとベースは共に左右方向に 30 Hz で振動しており、かつヘッドの方が更に 200

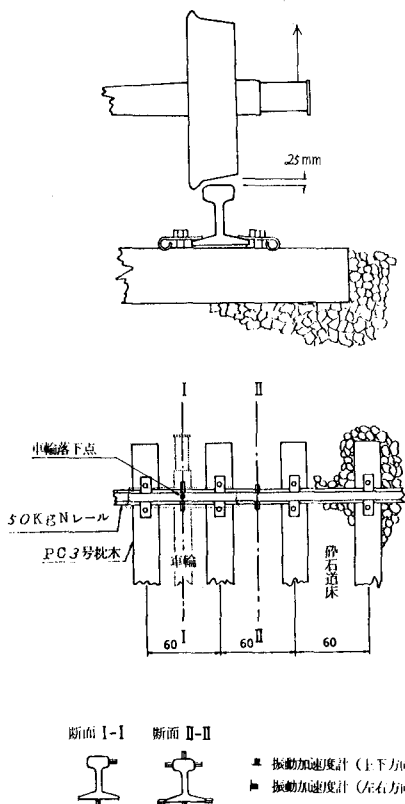


図-1 実験装置の概要

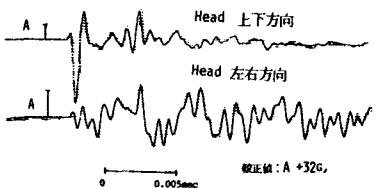


図-2 L-Lの振動加速度(断面Ⅱ)

Heの細かい振動をしていることがわかる。上下方向の振動変位は図-4に示されるごとく比較的単調な変動であり、車輪が作用するとレールは急激に現下している。この振動には200 Hz 附近の振動は顕著でない。これは振動計の感度を低くしたためかもしれない。

断面Ⅱの上下方向と左右方向の変位を用いて、ヘッドとベースの2次元の挙動を求めると図-6のごとくになり、ヘッドとベースは異なる挙動を示している。車輪の衝突直後はベースとヘッドがほぼ鉛直に現下し、その後、ヘッドが細かい左右方向の振動をし、ベースの振動はゆるやかである。

4. 結び

昨年発表したごとく、在来線における鉄道騒音(軌道側方180 cm, レール面の高さで測定)には50 Hz, 300 Hz, 900 Hz, 2000 Hz周辺に顕著な音圧レベルが認められた。^{*}これらの卓越周波数のうち300 Hz周辺以外の騒音の発生源はかなりの程度まで明確化されている。しかし、300 Hz周辺の音の発生源には不明な部分が多い。今回の実験で、車輪がレールに衝撃的に作用したときレール・ヘッドがあよそ200 Hzの周波数でもって左右方向に、いわば逆さ猿のような振動をしていることが見出された。従って、このレールの頭振り振動が300 Hz周辺の鉄道騒音の原因の一つではないかと考えられる。

* 梶原、松浦：車輪木よじレールの騒音の周波数特性、土木学会第32回年次学術講演会概要集、昭和52年10月。

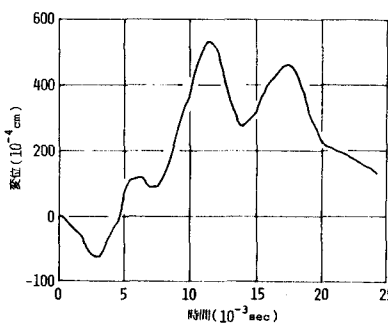


図-3 L-Lの振動変位(断面Ⅱ, ヘッド)
左右方向

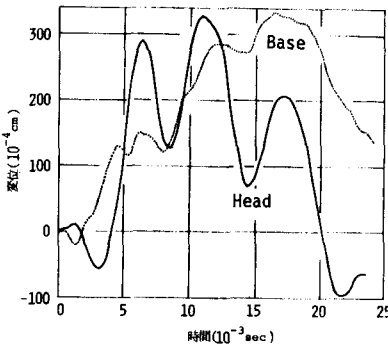


図-5 L-Lの左右方向変位(断面Ⅱ)

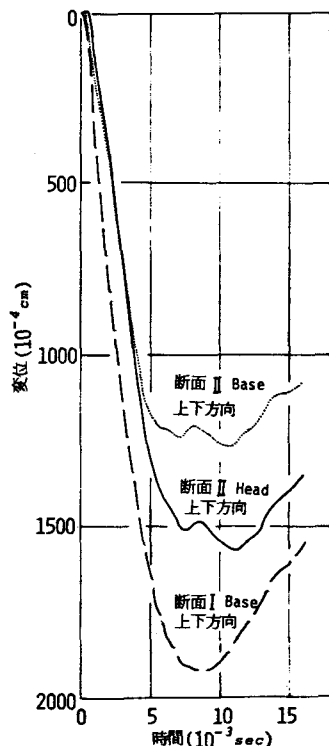


図-4 L-Lの上下方向変位

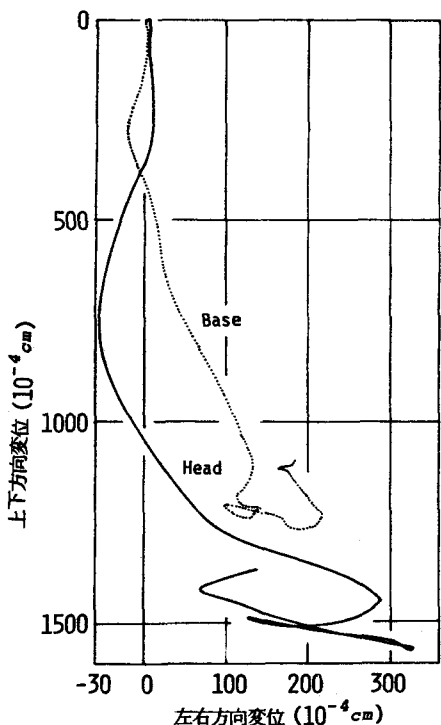


図-6 L-Lの変位(断面Ⅱ)